



به نام خدا



عنوان:

Differential Drive Mobile Robot

نام درس:

کنترل مدرن

نام استاد:

دکتر هاجر عطریانفر

مهندس الناز فیروزمند

نگارش :

محمد برابادی

مارال مرداد

محیا حقگو

سجاد قدیری

| فهرست | صفحه |
|--|------|
| فاز اول | 3 |
| 1-1- معرفی | 3 |
| 1-2- بررسی مدل غیر خطی | 5 |
| 1-3- خطی سازی سیستم سینماتیکی | 7 |
| 1-4- قطری سازی و ماتریس تبدیل | 9 |
| 1-5- تابع تبدیل و نمودار صفر و قطب | 10 |
| 1-6- پایداری داخلی | 11 |
| 1-7- پایداری ورودی-خروجی | 12 |
| 1-8- پاسخ سیستم | 12 |
| 1-9- تحریک فرکانس خاص | 13 |
| 1-10- تجزیه کالمن | 15 |
| 1-11- تحقق مینیمال | 16 |

فاز اول

1-1- معرفی

در سال های اخیر مطالعات و استفاده از ربات های متحرک بسیار مد نظر گرفته است. هر ساله با پیشرفت روش های کنترلی در زمینه های تئوری و عملی، کاربرد این ربات ها بیشتر نمایان می شود.

از کاربرد های این ربات می توان استفاده در مسیریابی در بیمارستان ها، فروشگاه های مواد غذایی، نظافت خانگی و ... نام برد. ربات مورد استفاده ما یک ربات 4 چرخ غیرهولونومیک می باشد.

بیان مفهوم غیرهولونومیک بسیار مفصل و نیازمند دانشی درباره درجه آزادی (degree of freedom) و فضای پیکربندی (configuration space) است. از رابطه گرابلر برای درجه آزادی داریم:

$$dof = \sum (freedom\ of\ bodies) - \#\ of\ independent\ constraints$$

$$dof = m(N - 1 - J) + \sum_{i=1}^J f_i$$

که در آن N تعداد بدنه های شامل زمین، J تعداد مفاصل، m تعداد درجه آزادی تک بدنه و f_i ها درجه آزادی مفصل ها می باشد. توصیف سیستم هایی که درجه آزادی پایینی دارند (مثلا یک) و تعداد اجزای آنها زیاد می باشد بسیار سخت است.

در این مواقع سیستم را به درجات بالاتر اقلیدسی (higher dimensional Euclidean) می برند و با قرار دادن قیدهای حلقه بسته سیستم، آن را راحت تر توصیف می کنند. مثلا برای یک سیستم با درجه آزادی یک که دارای 4 لینک حرکتی می باشد می توان با افزایش بعد آن به 4 و قرار دادن 3 قید سیستم را بهتر توصیف کرد.

اگر این قید ها بعد فضای پیکربندی را کاهش دهند به آنها holonomic و در غیر این صورت به آنها nonholonomic می گویند.

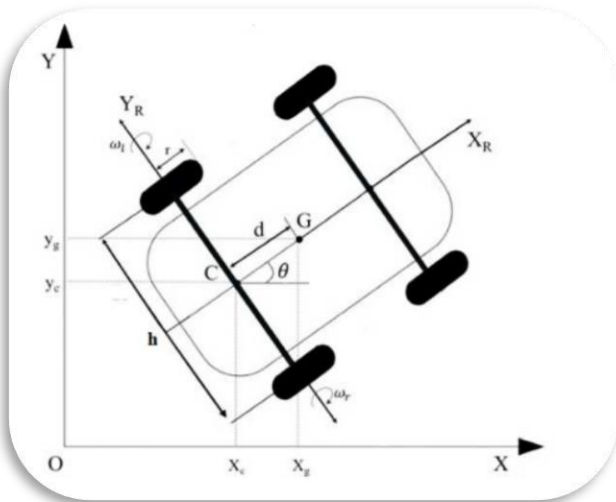
از لحاظ فیزیکی بیانگر آن هست که ربات نمی تواند به طور مستقیم در جهت نشان داده شده در شکل حرکت کند . برای تحقق حرکت در این جهت باید از parallel parking استفاده نماید .



ربات از دو جفت چرخ متصل به موتور استفاده می کند. هر جفت که با یک خط به هم متصل هستند، در جهت یکسان دوران می کنند. نکته ی مهم در این ربات ها این است که چرخ ها در هر جفت باید با سرعت یکسان بچرخند ، در غیر این صورت آن چرخى که سرعتش کمتر است، هرز و ناکارآمد خواهد بود و ربات در مسیر مستقیم حرکت نخواهد کرد.

هدف این پروژه بررسی ساختار دینامیکی و سینماتیکی ربات مذکور و طراحی کنترلر مناسبی برای حرکت ربات به منظور تعقیب یک مسیر دایره ای بوده است.

2-1- بررسی مدل غیر خطی



برای بررسی معادلات غیر خطی از معادلات سینماتیکی استفاده شده است. در ادامه به شرح نحوه به دست آمدن معادلات غیر خطی سینماتیکی سیستم می پردازیم. همانطور که در شکل قابل مشاهده است، برای حرکت ربات دو محور مختصات قابل تعریف است که شامل محور مختصات سراسری (X, Y) و محور مختصات محلی ربات می باشد. این دو محور مختصات از طریق یک ماتریس تبدیل دوران به یکدیگر مرتبط می شوند.

در شکل بالا X, Y محور مختصات سراسری و X_R, Y_R محور مختصات محلی ربات است.

$$\dot{x} = \frac{r(w_r + w_l)}{2} \cos \theta \quad (1)$$

$$\dot{y} = \frac{r(w_r + w_l)}{2} \sin \theta \quad (2)$$

$$\dot{\theta} = \frac{r(w_r - w_l)}{h} \quad (3)$$

w_l و w_r سرعت های زاویه ای چپ و راست چرخ ها هستند. h فاصله ی مراکز چرخ ها از یکدیگر است. θ زاویه ی مرکز ربات با محور X محور مختصات سراسری می باشد.

برای به دست آوردن معادلات حالت سیستم ورودی های کنترلی سرعت خطی چرخ های چپ و راست در نظر گرفته شده اند.

$$\text{input} = \begin{bmatrix} r w_l \\ r w_r \end{bmatrix}$$

و همین طور لغزش به صورت زیر مدل می شود:

$$i = 1 - \frac{v}{rw}$$

که r و v به ترتیب شعاع چرخ ها و سرعت خطی ربات می باشند.

اگر بخواهیم معادلات 1 و 2 و 3 را به صورت ماتریسی بنویسیم، ماتریس زیر به دست می‌آید:

$$\begin{bmatrix} \dot{x} \\ \dot{y} \\ \dot{\theta} \end{bmatrix} = \begin{bmatrix} \cos \theta & 0 \\ \sin \theta & 0 \\ 0 & 1 \end{bmatrix} \begin{bmatrix} \frac{1-i_l}{2} & \frac{1-i_r}{2} \\ -\frac{1-i_l}{h} & \frac{1-i_r}{h} \end{bmatrix} \begin{bmatrix} rW_l \\ rW_r \end{bmatrix}$$

برای معادلات بالا ترم خطا تشکیل می‌دهیم. ماتریس خطا به صورت زیر است:

$$\begin{bmatrix} e_x \\ e_y \\ e_\theta \end{bmatrix} = \begin{bmatrix} \cos \theta & \sin \theta & 0 \\ -\sin \theta & \cos \theta & 0 \\ 0 & 0 & 1 \end{bmatrix} \begin{bmatrix} x^{ref} - x \\ y^{ref} - y \\ \theta^{ref} - \theta \end{bmatrix}$$

برای به دست آوردن معادلات حالت باید از معادلات خطا مشتق گرفته شود.

برای ترم e_x به صورت زیر می‌نویسیم :

$$e_x = \cos \theta (x^{ref} - x) + \sin \theta (y^{ref} - y)$$

$$\dot{e}_x = -\dot{\theta} \sin \theta (x^{ref} - x) + \dot{\theta} \cos \theta (y^{ref} - y) + \cos \theta (\dot{x}^{ref} - \dot{x}) + \sin \theta (\dot{y}^{ref} - \dot{y})$$

با در نظر گرفتن

$$\dot{x}^{ref} = v^{ref} \cos \theta^{ref}$$

$$\dot{x} = v \cos \theta$$

$$\dot{y}^{ref} = v^{ref} \sin \theta^{ref}$$

$$\dot{y} = v \sin \theta$$

$$e_y = -\sin \theta (x^{ref} - x) + \cos \theta (y^{ref} - y) \quad \text{و}$$

خواهیم داشت :

$$\dot{e}_x = \dot{\theta} e_y + v^{ref} \cos(\theta^{ref} - \theta) - v$$

برای ترم e_y به صورت زیر می‌نویسیم :

$$e_y = -\sin \theta (x^{ref} - x) + \cos \theta (y^{ref} - y)$$

$$\dot{e}_y = -\dot{\theta} \cos \theta (x^{ref} - x) - \dot{\theta} \sin \theta (y^{ref} - y) - \sin \theta (\dot{x}^{ref} - \dot{x}) + \cos \theta (\dot{y}^{ref} - \dot{y})$$

با در نظر گرفتن

$$\dot{x}^{ref} = v^{ref} \cos \theta^{ref}$$

$$\dot{x} = v \cos \theta$$

$$\sin \theta \dot{y}^{ref} = v^{ref}$$

$$y = v \sin \theta$$

$$e_x = \cos \theta (x^{ref} - x) + \sin \theta (y^{ref} - y)$$

خواهیم داشت:

$$\dot{e}_y = -\dot{\theta} e_x + v^{ref} \sin(\theta^{ref} - \theta)$$

برای ترم e_θ به صورت زیر می‌نویسیم:

$$\dot{e}_\theta = \dot{\theta}^{ref} - \dot{\theta}$$

3-1- خطی سازی سیستم سینماتیکی

برای خطی سازی معادلات غیر خطی ارائه شده نقطه تعادل $\begin{bmatrix} e_x \\ e_y \\ e_\theta \end{bmatrix} = \begin{bmatrix} 0 \\ 0 \\ 0 \end{bmatrix}$ در نظر گرفته شده است. در اصل خطا نزدیک صفر در نظر گرفته می‌شود اگر دقیقاً صفر در نظر گرفته شود دیگر نمی‌توان کنترلر طراحی کرد.

با جایگذاری نقطه تعادل در معادلات قسمت قبل، معادلات حالت سیستم بر اساس ترم های خطا به صورت زیر درمی‌آید:

$$\begin{bmatrix} \dot{e}_x \\ \dot{e}_y \\ \dot{e}_\theta \end{bmatrix} = \begin{bmatrix} 0 & \dot{\theta}^{ref} & 0 \\ -\dot{\theta}^{ref} & 0 & v^{ref}(t) \\ 0 & 0 & 0 \end{bmatrix} \begin{bmatrix} e_x \\ e_y \\ e_\theta \end{bmatrix} + \begin{bmatrix} \frac{1-i_l}{2} & \frac{1-i_r}{2} \\ 0 & 0 \\ \frac{1-i_l}{h} & -\frac{1-i_r}{h} \end{bmatrix} \begin{bmatrix} r w_l^{fb} \\ r w_r^{fb} \end{bmatrix}$$

برای به دست آوردن ماتریس A باید مقادیر $\dot{\theta}^{ref}$ و v^{ref} را محاسبه کنیم. برای محاسبه این دو پارامتر از روابط موجود در فصل 2 کتاب Gonzalez استفاده می‌کنیم.

داریم:

$$v^{ref}(t) = \sqrt{\dot{x}^{ref}(t)^2 + \dot{y}^{ref}(t)^2}$$

$$\dot{\theta}^{ref} = \frac{\dot{x}^{ref}(t)\dot{y}^{ref}(t) - \dot{y}^{ref}(t)\dot{x}^{ref}(t)}{\dot{x}^{ref}(t)^2 + \dot{y}^{ref}(t)^2}$$

چون حرکت ربات در مسیر دایره‌ای به مرکز ربات و شعاع 3 متر مد نظر است، x^{ref} و y^{ref} به صورت زیر در نظر گرفته شده است.

$$x^{ref} = 3 \cos\left(\frac{\pi}{16}t\right) \quad , \quad y^{ref} = -3 \sin\left(\frac{\pi}{16}t\right)$$

در این صورت خواهیم داشت :

$$\dot{x}^{ref} = -\frac{3\pi}{16} \sin\left(\frac{\pi}{16}t\right) \quad , \quad \ddot{x}^{ref} = -3\left(\frac{\pi}{16}\right)^2 \cos\left(\frac{\pi}{16}t\right)$$

$$\dot{y}^{ref} = \frac{-3\pi}{16} \cos\left(\frac{\pi}{16}t\right) \quad , \quad \ddot{y}^{ref} = 3\left(\frac{\pi}{16}\right)^2 \sin\left(\frac{\pi}{16}t\right)$$

$$v^{ref}(t) = \sqrt{\left(\frac{3\pi}{16}\right)^2 \sin^2\left(\frac{\pi}{16}t\right) + \left(\frac{3\pi}{16}\right)^2 \cos^2\left(\frac{\pi}{16}t\right)} = \frac{3\pi}{16}$$

$$\dot{\theta}^{ref}(t) = \left(\frac{16}{3\pi}\right)^2 \left[\left(-9\left(\frac{\pi}{16}\right)^2 \sin^2\left(\frac{\pi}{16}t\right) \right) - \left(9\left(\frac{\pi}{16}\right)^3 \cos^2\left(\frac{\pi}{16}t\right) \right) \right] = -\frac{\pi}{16}$$

بدین ترتیب معادلات حالت سیستم با استفاده از مقادیر به دست آمده $v^{ref}(t)$ و $\dot{\theta}^{ref}$ و در نظر گرفتن $h = 0.15\text{m}$ و $i_l = i_r = 0$ به شکل زیر به دست آمده‌اند.

$$\begin{bmatrix} \dot{e}_x \\ \dot{e}_y \\ \dot{e}_\theta \end{bmatrix} = \begin{bmatrix} 0 & -\frac{\pi}{16} & 0 \\ \frac{\pi}{16} & 0 & \frac{3\pi}{16} \\ 0 & 0 & 0 \end{bmatrix} \begin{bmatrix} e_x \\ e_y \\ e_\theta \end{bmatrix} + \begin{bmatrix} 0.5 & 0.5 \\ 0 & 0 \\ 6.66 & -6.66 \end{bmatrix} \begin{bmatrix} rw_l^{fb} \\ rw_r^{fb} \end{bmatrix}$$

پس برای ماتریس حالت، ورودی و خروجی داریم:

$$A = \begin{bmatrix} 0 & -\frac{\pi}{16} & 0 \\ \frac{\pi}{16} & 0 & \frac{3\pi}{16} \\ 0 & 0 & 0 \end{bmatrix}, \quad B = \begin{bmatrix} \frac{1}{2} & \frac{1}{2} \\ 0 & 0 \\ \frac{1}{0.15} & -\frac{1}{0.15} \end{bmatrix}, \quad c = \begin{bmatrix} 1 & 0 & 0 \\ 0 & 1 & 0 \\ 0 & 0 & 1 \end{bmatrix}$$

طبق نتایج شبیه سازی مقاله‌ای که از آن در این پروژه استفاده شده است محدوده معتبر پارامترها برای سیستم خطی سازی شده، به صورت زیر در نظر گرفته شده است:

$$-20 \text{ rad/s} \leq w_l \text{ و } w_r \leq 20 \text{ rad/s}$$

$$-0.5m \leq e_x \text{ و } e_y \leq 0.5m$$

$$-0.5\text{rad} \leq e_\theta \leq 0.5\text{rad}$$

4-1- قطری سازی و ماتریس تبدیل

برای محاسبه فرم قطری بلوکی از دستور Jordan در متلب استفاده می‌کنیم :

```
J = 3x3 complex
0.0000 + 0.0000i    0.0000 + 0.0000i    0.0000 + 0.0000i
0.0000 + 0.0000i    0.0000 - 0.1963i    0.0000 + 0.0000i
0.0000 + 0.0000i    0.0000 + 0.0000i    0.0000 + 0.1963i
```

همچنین ماتریس تبدیل تشابه‌ای که استفاده شده است را با همان دستور Jordan بدست می‌آوریم :

```
T1 = 3x3 complex
-3.0000 + 0.0000i    0.0000 - 1.0000i    0.0000 + 1.0000i
0.0000 + 0.0000i    1.0000 + 0.0000i    1.0000 + 0.0000i
1.0000 + 0.0000i    0.0000 + 0.0000i    0.0000 + 0.0000i
```

5-1- تابع تبدیل و نمودار صفر و قطب

تابع تبدیل سیستم بصورت زیر است :

$$G = \begin{bmatrix} \frac{128s}{256s^2 + \pi^2} - \frac{20\pi^2}{256s^3 + \pi^2 s} & \frac{128s}{256s^2 + \pi^2} + \frac{20\pi^2}{256s^3 + \pi^2 s} \\ \frac{328\pi}{256s^2 + \pi^2} & -\frac{312\pi}{256s^2 + \pi^2} \\ \frac{20}{3s} & -\frac{20}{3s} \end{bmatrix}$$

حال برای یافتن قطبها و صفرهای انتقال سیستم ابتدا ماینورهای مرتبه اول و دوم سیستم نوشته شده است و سپس چند جمله‌ای مشخصه ماتریس تبدیل به دست آمده است.

ماینورهای مرتبه اول:

$$\frac{128s^2 + 20\pi^2}{256s^3 + \pi^2 s}, \frac{128s^2 - 20\pi^2}{256s^3 + \pi^2 s}, \frac{328\pi}{256s^2 + \pi^2}, \frac{-312\pi}{256s^2 + \pi^2}, \frac{20}{3s}, \frac{-20}{3s}$$

ماینورهای مرتبه دوم:

$$\frac{-320\pi}{256s^3 + \pi^2 s}, \frac{5120}{3(256s^2 + \pi^2)}, \frac{-320}{3(256s^3 + \pi^2 s)}$$

معادله مشخصه :

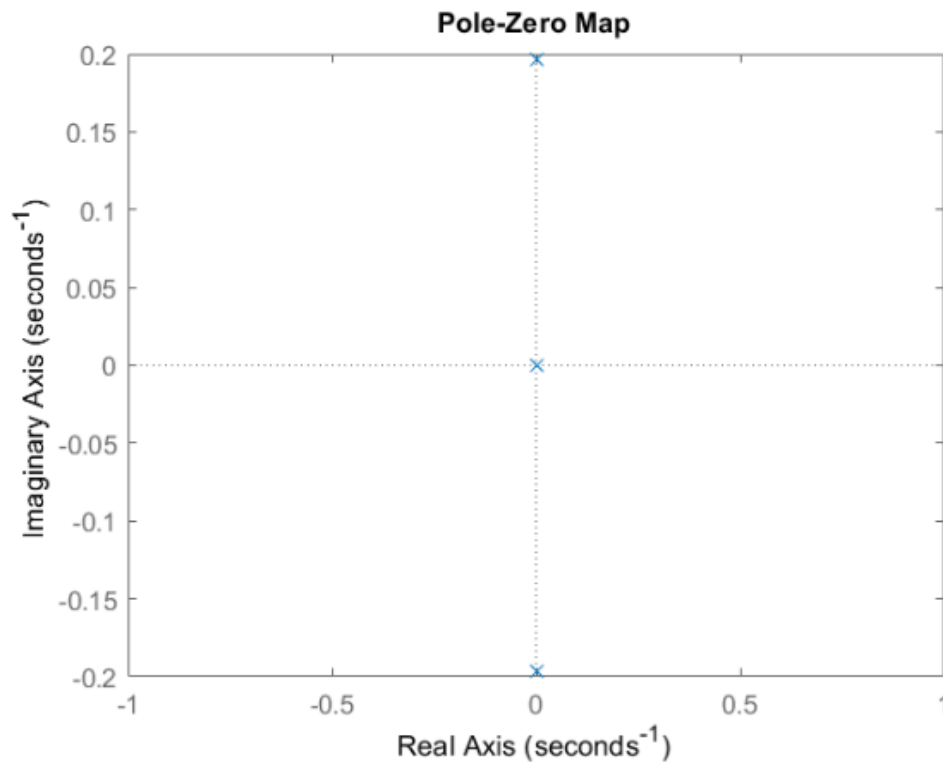
$$p(s) = 3(256s^3 + \pi^2 s)$$

قطبهای سیستم به شکل زیر می‌باشد:

$$p_1 = 0, p_2 = \frac{\pi}{16}j, p_3 = -\frac{\pi}{16}j$$

برای یافتن صفرهای انتقال لازم است رتبه نرمال سیستم را بدانیم که رتبه نرمال ماتریس تبدیل این سیستم 2 است. ماینورهای مرتبه 2 ماتریس تبدیل را در نظر گرفته و مخرج تمامی آنها را معادله مشخصه قرار می‌دهیم در این صورت مشاهده می‌کنیم صورت کسرهای این ماینورها هیچ ب.م.م ای ندارد در نتیجه سیستم صفر انتقال ندارد.

نمودار صفر و قطب سیستم:



6-1- پایداری داخلی

برای بررسی پایداری داخلی سیستم لازم است که به رفتار داخلی سیستم و متغیرهای حالت توجه شود. برای تحلیل پایداری داخلی سیستم، در این پروژه از روش اول لیاپانوف استفاده شده است به این صورت که ابتدا نقطه تعادل سیستم غیر خطی به دست آمده است و سپس سیستم غیر خطی حول نقطه تعادلش خطی سازی شده است. که توضیح مفصل این دو بخش در قسمت‌های قبل آمده است. حال باید پایداری سیستم خطی سازی شده (حول نقطه تعادل) بررسی و تحلیل شود برای اینکار با در نظر گرفتن ورودی 0، اثر شرایط اولیه را روی پاسخ حالت سیستم می‌بینیم. برای اینکار لازم است مقادیر ویژه ماتریس حالت سیستم خطی سازی شده بررسی شوند.

مقادیر ویژه ماتریس حالت:

$$\lambda_1 = 0 \quad , \quad \lambda_2 = +0.1963j \quad , \quad \lambda_3 = -0.1963j$$

پایداری داخلی به دو بخش پایداری مجانی و پایداری به مفهوم لیاپانوف تقسیم می‌شود.

در پایداری مجانبی لازم است قسمت‌های حقیقی تمامی مقادیر ویژه ماتریس حالت اکیدا منفی باشند چون در سیستم مورد مطالعه در این پروژه مقادیر ویژه روی محور موهومی قرار دارند سیستم پایداری مجانبی ندارد.

در مورد پایداری به مفهوم لیاپانف یا پایداری مرزی باید در نظر گرفت که سیستم نباید مقادیر ویژه ای با قسمت حقیقی مثبت داشته باشد و همچنین مقادیر ویژه روی محور در صورتی که تکراری بودند، تکرر جبری و هندسی آن‌ها برابر باشد. که هر دو شرط در این سیستم صدق می‌کند پس می‌توان گفت سیستم پایداری مرزی دارد.

در نهایت سیستم پایداری داخلی از نوع مرزی دارد.

7-1- پایداری ورودی-خروجی

برای بررسی پایداری ورودی-خروجی باید به قطب‌های ماتریس تبدیل توجه شود. در صورتی که تمامی قطب‌ها دارای بخش حقیقی اکیدا منفی باشند سیستم دارای پایداری ورودی-خروجی است.

قطب‌های ماتریس تبدیل سیستم:

$$p_1 = 0, \quad p_2 = \frac{\pi}{16}j, \quad p_3 = -\frac{\pi}{16}j$$

همان‌طور که قابل مشاهده است قطب‌ها روی محور موهومی هستند پس سیستم دارای پایداری ورودی-خروجی نمی‌باشد.

در بخش قبل دیدیم که سیستم دارای پایداری داخلی بود و در این بخش دیدیم که سیستم پایداری ورودی-خروجی نداشت پس می‌توان گفت اگر سیستم پایدار داخلی باشد نمی‌شود نتیجه گرفت که لزوماً پایدار ورودی-خروجی است. فقط در صورتی می‌توان این نتیجه را گرفت که سیستم پایدار داخلی از نوع مجانبی باشد.

8-1- پاسخ سیستم

ماتریس انتقال حالت سیستم با دستور expm در متلب به صورت زیر می‌باشد:

$$e^{At} = \begin{bmatrix} \frac{e^{-\frac{\pi t j}{16}}}{2} + \frac{e^{\frac{\pi t j}{16}}}{2} & \frac{-e^{-\frac{\pi t j}{16}} j}{2} + \frac{e^{\frac{\pi t j}{16}} j}{2} & \frac{3e^{-\frac{\pi t j}{16}}}{2} + \frac{3e^{\frac{\pi t j}{16}}}{2} - 3 \\ \frac{e^{-\frac{\pi t j}{16}} j}{2} - \frac{e^{\frac{\pi t j}{16}} j}{2} & \frac{e^{-\frac{\pi t j}{16}}}{2} + \frac{e^{\frac{\pi t j}{16}}}{2} & \frac{3e^{-\frac{\pi t j}{16}} j}{2} - \frac{3e^{\frac{\pi t j}{16}} j}{2} \\ 0 & 0 & 1 \end{bmatrix}$$

پاسخ حالت سیستم به ازای شرایط اولیه $x_0 = \begin{bmatrix} -0.1 \\ -0.2 \\ -0.2 \end{bmatrix}$ با استفاده از فرمول $x = e^{At}x_0$ به شکل زیر به دست آمده است:

$$x(t_0) = \begin{bmatrix} \frac{3}{5} + e^{-\frac{\pi t j}{16}} \left(\frac{-7}{20} + \frac{1}{10} j \right) + e^{\frac{\pi t j}{16}} \left(\frac{-7}{20} - \frac{1}{10} j \right) \\ e^{-\frac{\pi t j}{16}} \left(\frac{-1}{10} - \frac{7}{20} j \right) + e^{\frac{\pi t j}{16}} \left(\frac{-1}{10} + \frac{7}{20} j \right) \\ -\frac{1}{5} \end{bmatrix}$$

پاسخ خروجی سیستم به ازای شرایط اولیه قبلی و ورودی پله واحد حاصل جمع پاسخ ورودی صفر و پاسخ شرایط اولیه صفر است.

پاسخ شرایط اولیه صفر سیستم:

$$\begin{bmatrix} \delta(t) \\ \frac{\pi}{16} \\ 0 \end{bmatrix}$$

پاسخ کامل خروجی به شکل زیر می باشد:

$$y(t) = \begin{bmatrix} \delta(t) + \frac{3}{5} + e^{-\frac{\pi t j}{16}} \left(\frac{-7}{20} + \frac{1}{10} j \right) + e^{\frac{\pi t j}{16}} \left(\frac{-7}{20} - \frac{1}{10} j \right) \\ -\frac{\pi}{16} + e^{-\frac{\pi t j}{16}} \left(\frac{-1}{10} - \frac{7}{20} j \right) + e^{\frac{\pi t j}{16}} \left(\frac{-1}{10} + \frac{7}{20} j \right) \\ -\frac{1}{5} \end{bmatrix}$$

9-1- تحریک فرکانس خاص

برای اینکه مود خاصی در خروجی تحریک نشود کافی است شرایط اولیه را به طوری تعیین کنیم که ترکیب خطی از بردار ویژه های متناسب با مقدار ویژه های مود های دیگر سیستم باشد.

در مراحل قبل با استفاده از دستور Jordan علاوه بر فرم جردن ماتریس حالت سیستم ، ماتریس تبدیل تشابهی که ماتریس اصلی ما را به فرم جردن درمی آورد نیز بدست آمد که ستون های آن همان بردار ویژه های ماتریس حالت است .

T1 = 3×3 complex

| | 1 | 2 | 3 |
|---|-------------------|------------------|------------------|
| 1 | -3.0000 + 0.0000i | 0.0000 - 1.0000i | 0.0000 + 1.0000i |
| 2 | 0.0000 + 0.0000i | 1.0000 + 0.0000i | 1.0000 + 0.0000i |
| 3 | 1.0000 + 0.0000i | 0.0000 + 0.0000i | 0.0000 + 0.0000i |

J = 3×3 complex

| | 1 | 2 | 3 |
|---|------------------|------------------|------------------|
| 1 | 0.0000 + 0.0000i | 0.0000 + 0.0000i | 0.0000 + 0.0000i |
| 2 | 0.0000 + 0.0000i | 0.0000 - 0.1963i | 0.0000 + 0.0000i |
| 3 | 0.0000 + 0.0000i | 0.0000 + 0.0000i | 0.0000 + 0.1963i |

حال شرایط اولیه را ترکیب خطی ستون دوم و سوم در نظر می‌گیریم. با این فرض مقدار ویژه صفر

در $\lambda_1 = 0$ خروجی تحریک نمی‌شود. برای اطمینان از متلب استفاده می‌کنیم :

$$x_1 = \left(0 \times \begin{bmatrix} -3 \\ 0 \\ +1 \end{bmatrix} \right) + \left(1 \times \begin{bmatrix} 0 - 1j \\ 1 + 0j \\ 0 \end{bmatrix} \right) + \left(1 \times \begin{bmatrix} 0 + 1j \\ 1 + 0j \\ 0 \end{bmatrix} \right) = \begin{bmatrix} 0 \\ 2 \\ 0 \end{bmatrix}$$

$$x_1(t0) = C_e * e^{At} * x_1 = \begin{bmatrix} -e^{-\frac{\pi t j}{16}} + e^{\frac{\pi t j}{16}} \\ e^{-\frac{\pi t j}{16}} + e^{\frac{\pi t j}{16}} \\ 0 \end{bmatrix}$$

10-1 تجزیه کالمن

ابتدا برای بررسی کنترل پذیری و رویت پذیری سیستم ماتریس‌های کنترل پذیری و رویت پذیری سیستم تشکیل داده شده است و رنک آن‌ها محاسبه شده است.

$C_o = 3 \times 6$

| | 1 | 2 | 3 | 4 | 5 | 6 |
|---|--------|---------|--------|---------|---------|--------|
| 1 | 0.5000 | 0.5000 | 0 | 0 | -0.7903 | 0.7518 |
| 2 | 0 | 0 | 4.0252 | -3.8288 | 0 | 0 |
| 3 | 6.6667 | -6.6667 | 0 | 0 | 0 | 0 |

$$C_o = \begin{bmatrix} 0.5 & 0.5 & 0 & 0 & -0.7903 & 0.7518 \\ 0 & 0 & 4.0252 & -3.8288 & 0 & 0 \\ 6.6667 & -6.6667 & 0 & 0 & 0 & 0 \end{bmatrix}$$

$O_b = \text{obsv}(A_e, C_e)$

$O_b = 9 \times 3$

| | | |
|---------|---------|---------|
| 1.0000 | 0 | 0 |
| 0 | 1.0000 | 0 |
| 0 | 0 | 1.0000 |
| 0 | -0.1963 | 0 |
| 0.1963 | 0 | 0.5890 |
| 0 | 0 | 0 |
| -0.0386 | 0 | -0.1157 |
| 0 | -0.0386 | 0 |
| 0 | 0 | 0 |

$$O_b = \begin{bmatrix} 1 & 0 & 0 \\ 0 & 1 & 0 \\ 0 & 0 & 1 \\ 0 & -0.1963 & 0 \\ 0.1963 & 0 & 0.5890 \\ 0 & 0 & 0 \\ -0.0386 & 0 & -0.1157 \\ 0 & -0.0386 & 0 \\ 0 & 0 & 0 \end{bmatrix}$$

همان طور که در شکل بالا مشخص شده است رنک سطری ماتریس کنترل پذیری و رنک ستونی ماتریس رویت پذیری سه (کامل) می‌باشد پس سیستم هم کنترل پذیر و رویت پذیر است.
پس سیستم فقط دارای یک زیر سیستم رویت پذیر و کنترل پذیر به شکل زیر می‌باشد.

$$Abar = \begin{bmatrix} 0 & -0.1963 & -0.5890 \\ 0.1963 & 0 & 0 \\ 0 & 0 & 0 \end{bmatrix} \quad Bbar = \begin{bmatrix} 0 & 0 \\ -0.5 & -0.5 \\ -6.6667 & 6.6667 \end{bmatrix}$$

$$Cbar = \begin{bmatrix} 0 & -1 & 0 \\ 1 & 0 & 0 \\ 0 & 0 & -1 \end{bmatrix}$$

11-1-تحقق مینیمال

با توجه به کامل بودن رنک ماتریس های کنترل پذیری و رویت پذیری، همه ی مود های سیستم کنترل پذیر و رویت پذیر می باشند. می دانیم در تابع تبدیل کل سیستم مودهایی را خواهیم دید که هم کنترل پذیر و هم رویت باشند. اگر سیستم قابل تبدیل به زیر سیستم های کنترل پذیر-رویت پذیر، کنترل ناپذیر-رویت پذیر، کنترل پذیر-رویت ناپذیر و کنترل ناپذیر-رویت ناپذیر باشد، تابع تبدیل کل سیستم معادل با تابع تبدیل زیر سیستم کنترل پذیر-رویت پذیر است. از آنجایی که سیستم ما فقط زیر سیستم کنترل پذیر-رویت پذیر دارد، تحقق فضای حالت برای این تابع تبدیل مینیمال می باشد.